

Ba, Sr, Ca, Zr をドープした硫化物超伝導体 La₃S₄ の超伝導転移点, T_c, の変化

Tc Changes of Ba,Sr,Ca and Zr doped Lanthanum
Sulfides, La₃S₄, superconductors.

中丸 久一

桐蔭学園横浜大学工学部 物理学研究室

(1996年, 3月13日 受理)

Abstract

Compounds of the type La^{3-x}M_xS₄, where M is Ba, Sr, Ca or Zr and x ranges from 0 to 0.6, have been prepared by the method of reducing by Al. Superconducting transition temperature, T_c, has been obtained from the results of measurement of the AC magnetic susceptibility. By substituting a divalent ion (Ba, Ca) for trivalent La, T_c have shown to vanish. And substituting a divalent ion (Sr) for trivalent La, T_c have shown to drop. By substituting a tetravalent ion Zr, T_c has shown to fall. Good crystal form of La₃S_{4+d} samples have been obtained by quenching from 1700 °C.

1. 序論

希土類元素の中でも ランタン (La) (以下 La と表す) は 4f 軌道に電子をもたない金属元素であり、そのため自ら磁性を持たず、単体金属で超伝導を示す。その超伝導転移点, T_c, (超伝導現象が起きる温度) は面心立方体構造 fcc(β) のとき 6.00K、六方晶構造 hex(α) のとき 4.88K となることが確認されている¹⁾。また、La と硫黄 (S) (以下 S

と表す) の化合物のうちで、Th₃S₄ 型結晶構造をもつ La₃S₄²⁾ が、超伝導転移点 T_c = 8.25K で超伝導を示すことが報告されている^{3), 4)}。La は単体金属で超伝導になり、また硫化物で超伝導になる元素であり、希土類元素のなかでも興味ある特徴を示している。

本研究は、この超伝導を示す La₃S₄ の La の一部を バリウム (Ba), ストロンチウム (Sr), カルシウム (Ca), ジルコニウム (Zr) で置換したときの超伝導性を調べることを目的とする。3 値のイオンである La (以下 La³⁺ と表す) を 2 値のイオンである Ba, Sr, Ca (以下 Ba²⁺, Sr²⁺, Ca²⁺ と表す) で置き換えることは La³⁺ サイトに存在しているであろうホール (電子の抜けた穴でプラスの電荷を持っている) を埋めていくことを意味する。また 4 値のイオンである Zr (以下 Zr⁴⁺ と表す) で置き換えることはホールの増加を意味する。La³⁺ を Ba²⁺, Sr²⁺, Ca²⁺, Zr⁴⁺ 等で置換したとき、T_c はどのように変化するかを調べ、La₃S₄ の超伝導発生機構のうちホールの役割についての知見を得るために研究を行った。

基準となる La と S の化合物の存在は数種類確認されているが⁵⁾、結晶構造がすべて明らかになっているとは限らない。組成比および加圧、熱処理温度等の作成条件が合成の重要

な要素となっている。それらの化合物のうちいくつかを以下に示す。

超伝導になる La_3S_4 の製造方法はいくつか

化合物	結晶構造	格子定数 (Å)	融点 (°C)
LaS	NaCl 型	5.854	2200
LaS ₂	LaS ₂ 型	8.20	1650
La ₂ S ₃ (α)	unknown		
La ₂ S ₃ (β)	unnownnn		
La ₂ S ₃ (γ)	Th ₃ P ₄ 型	8.727	2095
La ₃ S ₄	Th ₃ P ₄ 型	8.730	2100

報告されている。一つはランタンと硫黄の混合物をグラファイトトルツボに入れ、真空中で 1500 ~ 1600 °C で加熱するものであり⁶⁾⁷⁾、他の一つの方法はアルミニウムによる La₂S₃ の還元反応によるものである⁸⁾。

La₃S₄ の製法に関して、本研究においては、手持ちの電気炉の特性を考慮した上で、Al による還元法を用いることにした。また La₃S₄ 以外のランタンと硫黄の合成は、N.E.Topp の本⁹⁾にまとめられている。

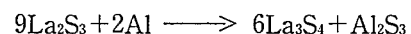
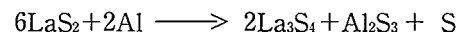
今回の研究の対象となる La₃S₄ に 2 値および 4 値のイオンを注入した物質を La_{3-x}M_xS_{4+d} (M = Ba, Sr, Ca, Zr) と表すことにする。S の量はサンプル量が少なく、分析がむずかしく値は未知であるが $0 \leq d \leq 0.5$ 程度である。

2 値のイオンを注入していくと、 $x = 0.3$ 以上で La_{3-x}M_xS_{4+d} は n 型半導体になることがすでに報告されている¹⁰⁾。今回の実験では $x \leq 0.3$ の金属的の部分で測定を行った。このうち、Al 還元法を用いて作成した La₃S₄ は、8.2K で超伝導を示すことが交流磁化率の測定から確認でき、Sr²⁺, Zr⁴⁺ で置換したものは T_c は減少し、Ba²⁺, Ca²⁺ で置換したものはまったく超伝導を示さなかった。

2. 実験

この研究で使用する化合物は以下のように作成した。まず La_{3-x}M_xS_{4+d} の基となる LaS₂,

La₂S₃ の作成からはじめた。La (和光純薬製、削り状 99.0%) と S (関東化学製粉末、CS₂ で 2 回再結晶を施したもの) を化学量論的に 1 : 2 と 2 : 3 に秤量し、それぞれを石英ガラス管に入れ、ヘリウムガス (He) で 2 回フラッシュ (flash) した後、真空封緘した。それを、800 °C まで数日かけて上昇させ、その温度で数日間反応させ、LaS₂, La₂S₃ を得た。この 2 つの LaS 系化合物を基にして、La と M の組成比が化学量論的に正しくなるように、BaS, SrS, CaS (各三津和化学製粉末 99.9%) および Zr (和光純薬製粉末) を混合し、2.4ton/cm² でプレスした後、前と同じ要領で真空封緘し、1000 °C で 50 ~ 100 時間反応させた。このときの X 線回折パターンは LaS₂, La₂S₃ (β 型) のままであった。これらの化合物を La サイトについて考えて



となる反応を期待してアルミニウム (Al) の削り状 (99.99%) もしくは粉末を上の反応式の 2 倍程度秤量し、M をドープしてある LaS₂ あるいは La₂S₃ と混合・プレスし、真空中で一晩仮焼きする。そのサンプルをタングステンポート (W ポート) に乗せ、 10^{-4} torr 程度の真空中で 1500 °C で加熱し、上記の反応を行う。このとき生じたであろう Al₂S₃ はさらに 1700 °C 以上の加熱で蒸発させ、目的となる化合物を作成した。これらのサンプルは X 線回折パターンにより生じた化合物の型を同定した。超伝導転移点 T_c の測定は、交流ハーフジョンブリッジ型磁化率測定装置で行った。

3. 結果および考察

作成した La_{3-x}M_xS_{4+d} (M = Ba, Sr, Ca, Zr) の X に対する格子定数の変化を図 1 に示す。La³⁺, Ba²⁺, Sr²⁺, Ca²⁺, Zr⁴⁺ のイオン半径はそれぞれ、1.06 Å, 1.36 Å, 1.13 Å, 1.00 Å, 0.72 Å である。La の代わりにイオン半径の大きい Ba²⁺, Sr²⁺ を添加したものは X の増加とともに

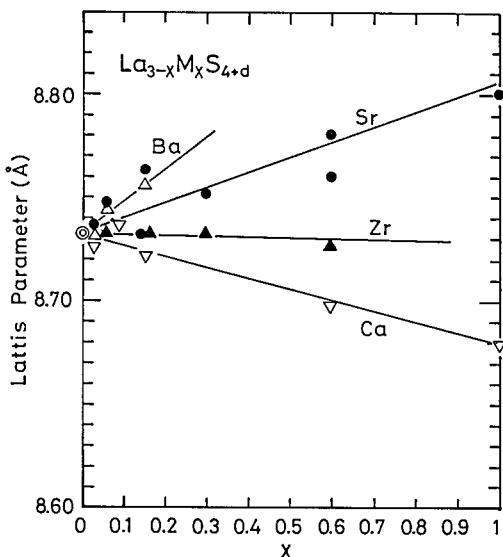


図1. $\text{La}_{3-x}\text{M}_x\text{S}_{4+d}$ ($\text{M}=\text{Ba}, \text{Sr}, \text{Ca}, \text{Zr}$) の X の値に対する格子定数の変化

ない格子定数が増加していることがわかる。イオン半径の小さい Ca^{2+} を添加したものは X の増加にともない格子定数は減少している。

これらの結果をみると $\text{Ba}^{2+}, \text{Sr}^{2+}, \text{Ca}^{2+}$ が La^{3+} サイトに置換されているといえる。この傾向は J.F.NAKAHARA¹⁰⁾ と同じである。イオン半径が Ca^{2+} よりさらに小さい Zr^{4+} を添加したものは $\text{La}_3\text{S}_{4+d}$ の格子定数と差がない。このことは Zr^{4+} が La^{3+} サイトに置換されていない可能性もあるが、以下の理由で Zr^{4+} が LaS 系と反応しているものと考えている。図2がそのX線回折パターンである。(a) は La と S をモル比 2 : 3 で真空封緘し 1000 °Cで 72 時間反応させてたもので、JCPDS カード (22-0645) の La_2S_3 (β 型) と一致している。(b) は (a) のサンプルに Zr を La に対して 20% の量の粉末を混合し、真空封緘で 1000 °Cで 60 時間反応させたものである。これも (a) とほとんど同じであり La_2S_3 (β 型) と同定される。(c) は (b) に Al の粉末を加え 2.4ton / cm^2 で成形したのち、1500 ~ 1700 °Cで S を還元したものである。JCPDS カード (25-1041) γ 型と同定できる。これらからは $\text{La}_3\text{S}_{4+d}$ 系以外のX線回折パターンのピークが見えず、何らかの形で Zr が $\text{La}_3\text{S}_{4+d}$ に

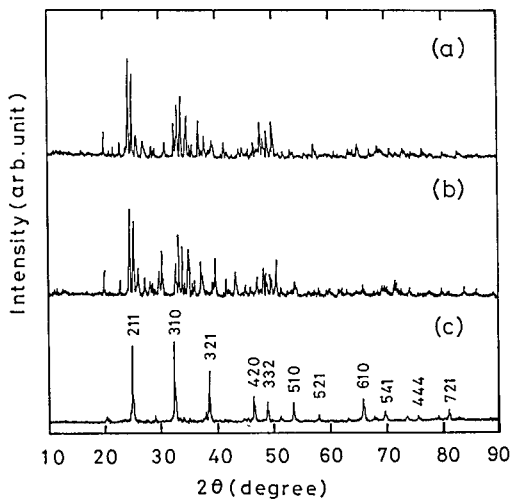


図2. $\text{La}_{2.4}\text{Zr}_{0.6}\text{S}_{4+d}$ の X 線回折パターン

(a) La と S をモル比 2 : 3 で真空封緘 800 °Cで 3 日間 La_2S_3 型 (b) (a) に Zr 粉末を混じ真空封緘で 1000 °Cで 2 日間反応 (c) (b) に Al 粉末を混合し真空中で 1500 ~ 1700 °C加熱 La_3S_4 γ 型

化合物名	格子定数 (Å)	超伝導転移点 (K)	結晶性
a. $\text{La}_3\text{S}_{4+d}$	8.7315	8.2	aa
b. $\text{La}_{2.97}\text{Sr}_{0.03}\text{S}_{4+d}$	8.7418	5.7 and 7.7	aa
c. $\text{La}_{2.94}\text{Sr}_{0.06}\text{S}_{4+d}$	8.7436	4.8	aa
d. $\text{La}_{2.85}\text{Sr}_{0.30}\text{S}_{4+d}$	8.7776	4.5	aa
e. $\text{La}_{2.70}\text{Sr}_{0.60}\text{S}_{4+d}$	8.7775	6.2	a
f. $\text{La}_{2.40}\text{Sr}_{0.60}\text{S}_{4+d}$	8.7963	5.5 and 4.8	a
g. $\text{La}_{2.94}\text{Zr}_{0.06}\text{S}_{4+d}$	8.7439	7.3	a
h. $\text{La}_{2.85}\text{Zr}_{0.15}\text{S}_{4+d}$	8.7292	6.0	b
i. $\text{La}_{2.70}\text{Zr}_{0.30}\text{S}_{4+d}$	8.7497	4.6	b
j. $\text{La}_{2.40}\text{Zr}_{0.60}\text{S}_{4+d}$	8.7326	6.5	a
k. $\text{La}_{2.97}\text{Ba}_{0.03}\text{S}_{4+d}$	8.7315	なし	a
l. $\text{La}_{2.94}\text{Ba}_{0.06}\text{S}_{4+d}$	8.7412	なし	aa
m. $\text{La}_{2.85}\text{Ba}_{0.15}\text{S}_{4+d}$	8.7558	なし	aa
n. $\text{La}_{2.97}\text{Sr}_{0.06}\text{S}_{4+d}$	8.7341	6.8	c
o. $\text{La}_{2.94}\text{Sr}_{0.06}\text{S}_{4+d}$	8.7512	5.3	c
p. $\text{La}_{2.85}\text{Sr}_{0.15}\text{S}_{4+d}$	8.7318	8.0	c
q. $\text{La}_{2.70}\text{Sr}_{0.30}\text{S}_{4+d}$	8.7460	なし	a
r. $\text{La}_{2.97}\text{Ca}_{0.03}\text{S}_{4+d}$	8.7266	なし	b
s. $\text{La}_{2.94}\text{Ca}_{0.06}\text{S}_{4+d}$	-	なし	
t. $\text{La}_{2.91}\text{Ca}_{0.09}\text{S}_{4+d}$	8.7363	なし	b
u. $\text{La}_{2.85}\text{Ca}_{0.15}\text{S}_{4+d}$	8.7218	なし	c

表1. $\text{La}_{3-x}\text{M}_x\text{S}_{4+d}$ ($\text{M}=\text{Ba}, \text{Sr}, \text{Ca}, \text{Zr}; 0 \leq x \leq 0.3; d \leq x \leq 0.5$)

上部 10 個 La_2S_3 を基にして合成

下部 11 個 La_2S_2 を基にして合成

超伝導転移点の温度は超伝導の起こりはじめの温度とした。結晶性は aa が最も良く、c が良くない

注入されているものと考えることができる。

表1は $\text{La}_{3-x}\text{M}_x\text{S}_{4+d}$ ($\text{M}=\text{Ba}, \text{Sr}, \text{Ca}, \text{Zr}; 0 \leq x \leq 0.6; d \leq x \leq 0.5$) の磁化率の測定による

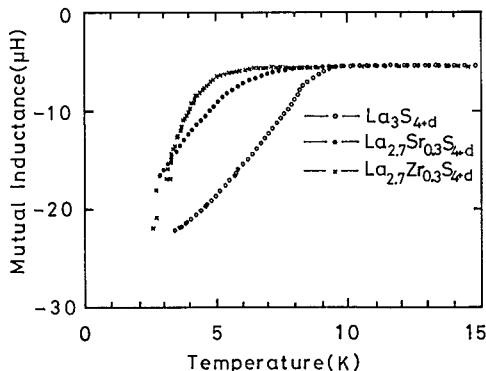


図3 $\text{La}_{3-x}\text{M}_x\text{S}_{4+d}$ (M=Sr,Zr;X=0,0.3)の磁化率
 $\text{LaS}_{4+d}, \text{La}_{2.7}\text{Sr}_{0.3}\text{S}_{4+d}, \text{La}_{2.7}\text{Zr}_{0.3}\text{S}_{4+d}$ の T_c はそれぞれ 8.2K, 6.2K, 4.6K である

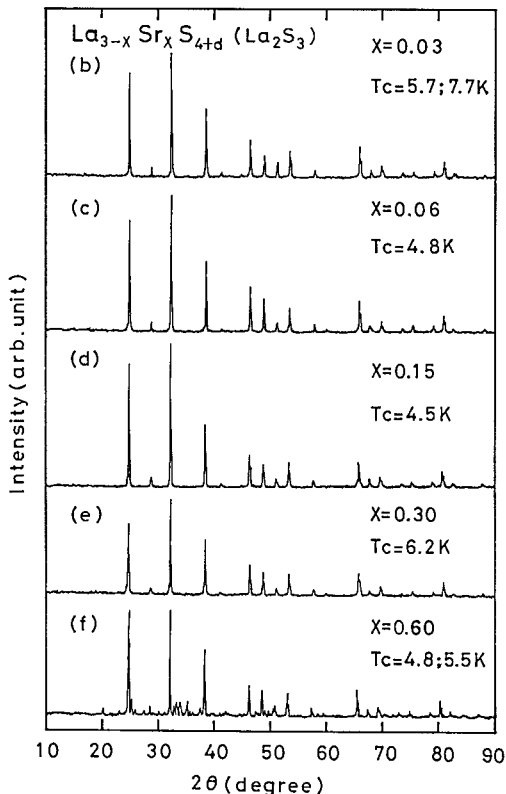


図4 $\text{La}_{3-x}\text{Sr}_x\text{S}_{4+d}$ (La_2S_3 を基にして作成)
 La_2S_3 に SrS を混合・プレスし、真空封緘後 1000°C で 40 時間反応させる。さらに Al 粉末と混合・プレスし真空封緘後 400°C で 12 時間焼結。1500 ~ 1700°C で Al による還元。(b)(c)(d)(e)(f) はそれぞれ $x = 0.03, 0.06, 0.15, 0.30, 0.60$ のものであり、 T_c は 5.7K と 7.7K の 2 点、4.8K, 4.5K, 6.2K, 4.8K と 5.5K の 2 点が見える。 $x = 0.6$ の結晶性はやや悪いがすべて γ 型である。

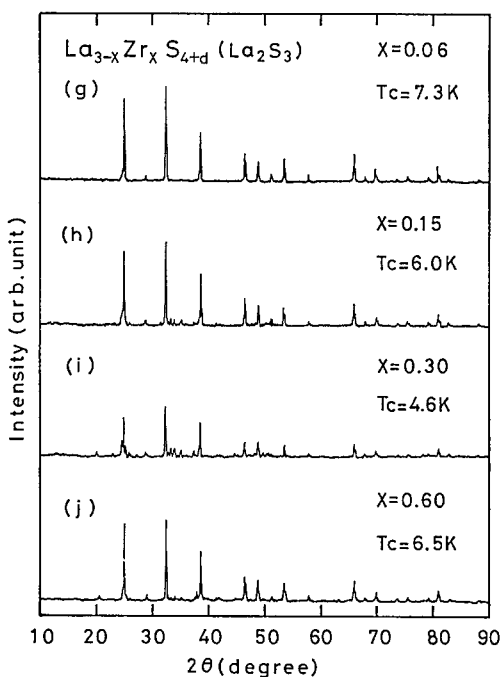
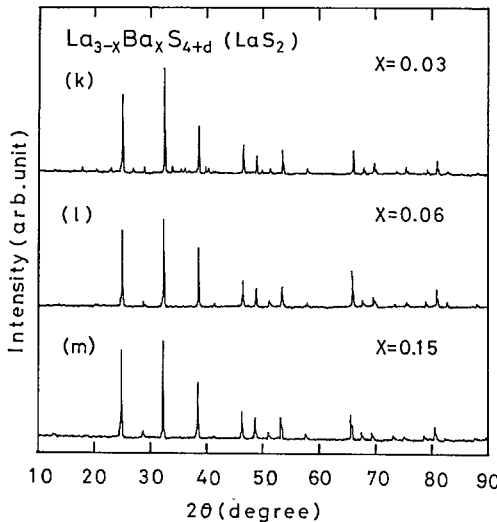


図5 $\text{La}_{3-x}\text{Zr}_x\text{S}_{4+d}$ (La_2S_3 を基にして作成)
 La_2S_3 に Zr を混合・プレスし、真空封緘後 1000°C で 40 時間反応させる。さらに Al 粉末と混合・プレスし真空封緘後 400°C で 12 時間焼結。1500 ~ 1700°C で Al による還元。(g)(h)(i)(j) はそれぞれ $x = 0.06, 0.15, 0.30, 0.60$ のものであり、 T_c は 7.3K, 6.0K, 4.6K, 6.5K であり、結晶型は γ 型である。

超伝導転移点を示したものである。表の上側 10 個は La_2S_3 から合成したサンプルのデータであり、下側 11 個のデーターは LaS_3 から合成した作成サンプルのデーターである。 La_2S_3 から作成サンプルは Sr と Zr を添加したものであり、すべてのサンプルが超伝導を示している。 $x = 0$ と $x = 0.3$ の温度に対する磁化率の変化を示したグラフが図3である。磁化率は相互インダクタンス (MI) に比例するゆえ、縦軸は相互インダクタンス (MI) で示した。添加物を入れない $\text{La}_3\text{S}_{4+d}$ は超伝導点 T_c が 8.2K であるのに対し、Sr, Zr を添加したサンプルの T_c は 6.2K, 4.6K と下がっている。 LaS_2 から作成したサンプルについては、Ba, Sr, Ca について実験を行った。Zr についてはサンプルの作成を行わなかった。図4 ~ 図8 に作成したサンプルの X 線回折パターンを示す。図4、図5 は La_2S_3

図 6 . $\text{La}_{3-x}\text{Ba}_x\text{S}_{4+d}$ (LaS_2 を基にして作成)

LaS_2 に BaS を混合・プレスし、真空封緘後 1000°C で 50 時間反応させる。さらに Al 粉末と混合・プレスし真空封緘後 400°C で 12 時間焼結。 $1500 \sim 1700^\circ\text{C}$ で Al による還元。(k)(l)(m) はそれぞれ $x = 0.03, 0.06, 0.15$ のものであり、超伝導は示さなかった。結晶型は γ 型である。

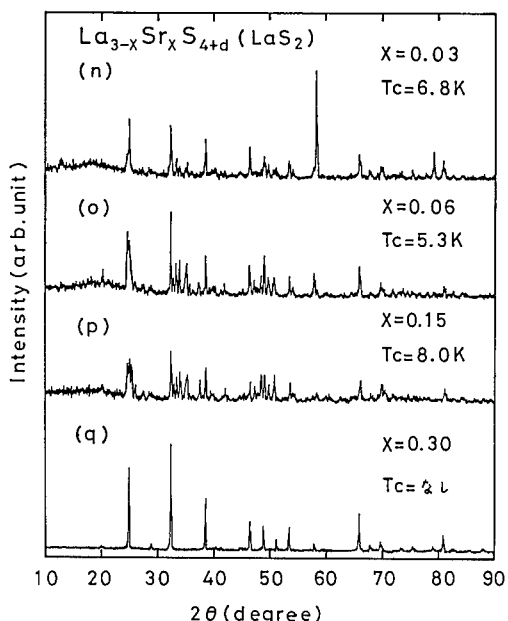
から合成した $\text{La}_{3-x}\text{Sr}_x\text{S}_{4+d}$, $\text{La}_{3-x}\text{Zr}_x\text{S}_{4+d}$ であり、図 6、図 7、図 8 は LaS_2 から合成したもの

$\text{La}_{3-x}\text{BaxS}_{4+d}$, $\text{La}_{3-x}\text{Sr}_x\text{S}_{4+d}$, $\text{La}_{3-x}\text{Ca}_x\text{S}_{4+d}$ である。

これらのX線回折パターンをみると、 LaS_2 を基にし作成したものより La_2S_3 を基にして作成したものの方が結晶性が良い傾向がある。これは Al による還元方法が異なることと、 La_2S_3 の方が S が少なく還元しやすいためと思える。

図 4 と図 5 をみると、結晶性は良く X が大きくなるといくぶん悪くなる傾向があるが、いずれも T_c は落ちてはいるが超伝導を示している。

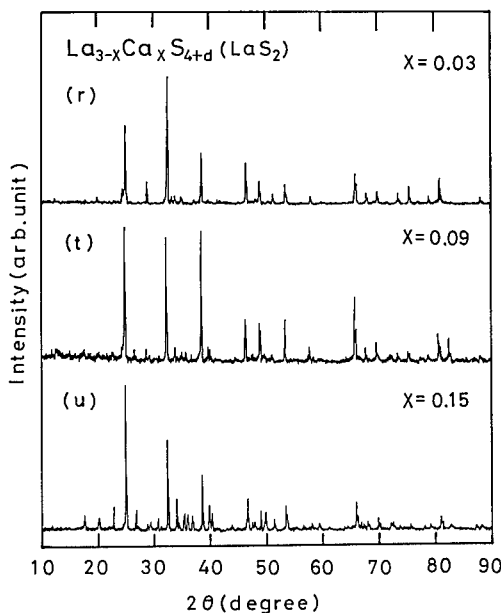
図 6, 図 7, 図 8 を比べてみると Ba を添加したものはきれいな γ 型を示しているが超伝導は示さず、Ca を添加したものは Ba を添加したものより結晶性は悪く超伝導も示さなかった。Sr を添加したものの結晶性は Ca を添加したものよりさらに悪いが超伝導を示している。これらの結果から判断すると、

図 7 . $\text{La}_{3-x}\text{Sr}_x\text{S}_{4+d}$ (LaS_2 を基にして作成)

LaS_2 に SrS を混合・プレスし、真空封緘後 1000°C で 50 時間反応させる。さらに Al 片と混合し $1500 \sim 1700^\circ\text{C}$ で Al による還元。(n)(o)(p)(q) はそれぞれ $x = 0.03, 0.06, 0.15, 0.30$ のものであり、 T_c は $6.8\text{K}, 5.3\text{K}, 8.0\text{K}$ 、超伝導を示さず、であった。 $(X = 0.30)$ の作成方法は Ba 添加と同じ)結晶型は γ 型であるが、(q) 以外は結晶性は悪い。

Ba, Ca を添加すると超伝導性が消える傾向があり、Sr の添加も Ba, Ca よりも顕著ではないが T_c を下げる傾向があると思える。それでも Sr を添加したものが超伝導を示すのはイオン半径が Ba ほど大きくななく、Ca ほど小さくないからと考えることができる。このことは原子間距離も超伝導に寄与していることを示唆しているものと思える。

以上のことまとめると、 La^{3+} サイトのホールを $\text{Ba}^{2+}, \text{Sr}^{2+}, \text{Ca}^{2+}$ が埋めていくことにより超伝導性は減少する。また原子間距離も超伝導性に考慮すべきことがわかる。結晶性が良いことも条件の一つであるが、この化合物については、超伝導になるためには作成方法が重要な要素である。これは S をいかに還元するかという問題である。S の量が多いと T_c が下がるという結果が比熱の測定から得られている。¹¹⁾ Ba, Ca を添加したものが

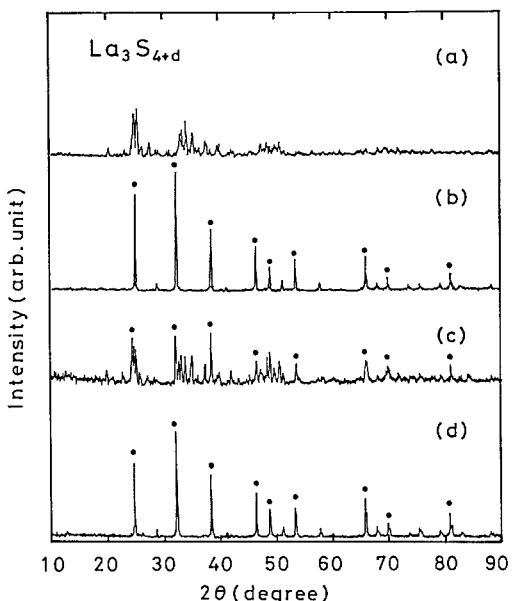
図 8 . $\text{La}_{3-x}\text{Ca}_x\text{S}_{4+d}$ (LaS_2 を基にして作成)

LaS_2 に CaS を混合・プレスし、真空封緘後 1000°C で 50 時間反応させる。さらに Al 粉末と混合・プレスし真空封緘後 400°C で 12 時間焼結。 $1500 \sim 1700^\circ\text{C}$ で Al による還元。 $(r)(t)(u)$ はそれぞれ $x = 0.03, 0.09, 0.15$ のものであり、超伝導は示さなかった。結晶型は γ 型であり、結晶性は Ba 添加と Sr 添加の中間。

まったく超伝導を示さなかったのは S の還元が不十分であったと考えることもできる。このことから考えると、S の量が少ない La_2S_3 から作成した方が超伝導性に関しては効果的と思える。

La_2S_3 を基にして Zr を添加したものは T_c は低下した。このことは単にホールを注入しただけでは超伝導転移点は上昇しないことを示す結果といえるが、 $\text{La}_3\text{S}_{4+d}$ に Zr を添加することにより T_c が下がる現象が何を意味するかは今回の実験では明らかにならなかつた。

図 9 は $\text{La}_3\text{S}_{4+d}$ のサンプル作成の過程を X 線回折パターンで説明したものである。(a) は La と S を 2 : 3 のモル比で混合し、石英ガラス管に真空封緘後、 800°C で 86 時間反応させたものである。結晶型は La_2S_3 (β 型) である。(b) は (a) を Al 粉末で 1700°C

図 9 . $\text{La}_3\text{S}_{4+d}$ の熱処理による結晶変態

(a) La と S をモル比 2:3 で真空封緘 800°C (b) (a) を 1700°C での Al による S の還元 (c) (b) を 1150°C で 12 時間熱処理し徐冷 (d) (c) を 1700°C で熱処理し急冷
●は $\text{La}_3\text{S}_{4+d}$ の γ 型、●以外で大きなピークは La_2S_3 の β 型

で還元させたものである。結晶型は γ 型であり、超伝導を示したサンプルである。(c) はそれをさらに真空封緘し、 1150°C で 12 時間熱処理し電気炉中で徐冷したものである。結晶型は (a) と同じ β 型 γ 型が混在している。(d) は (c) をさらに 1700°C 以上で熱処理し、急冷したものであり、(b) と同じ γ 型を示している。このことから結晶性の良い $\text{La}_3\text{S}_{4+d}$ の γ 型は 1700°C 以上の高温から急冷すると得られることが判明した。

結論

今回の実験をとうして以下のことがわかった。

- 1). 超伝導体 $\text{La}_3\text{S}_{4+d}$ の La^{3+} サイトに, Ba^{2+} , Sr^{2+} , Ca^{2+} 等の 2 価の元素を注入することにより、超伝導性は損なわれる傾向がある。こ

れは La^{3+} サイトのホールが 2 倍の原子により埋められてしまうからと考えられる。

2). $\text{La}_3\text{S}_{4+d}$ に Zr を注入したものは T_c は下がる傾向は見られたが、詳細は今後の研究に委ねたい。

3). $\text{La}_3\text{S}_{4+d}$ の作成は 1700 °C以上からの高温からの急冷によって得ることができる。

今回の研究は平成 7 年度卒業研究生、二川桂一君および長島広明君の卒業研究を共同研究者である筆者が手を加えたものである。両君の日頃のサンプル作りに感謝したい。

4. 文 献

1. 伊原英雄、戸叶一正：超伝導材料（東京大学出版会）100(1987)
2. F. Holtzberg, T. R. McGuire, S. Methfessel, and J. C. Suits, J. Appl. Phys., 35, 1033(1964)
3. R. M. Bozorth, F. Holtzberg, and S. Methfessel, Phys. Rev. Lett., 14, 952 (1965)
4. G. L. Guthrie and H. L. Palmer, Phys. Rev., 141, 346(1966)
5. Gschneidner, Rare Earth Alloys, D. Van Nostrand Company(1961)
6. E. D. Eastman, L. Brewer, L. A. Bromley, P. W. Gilles, N. L. Lofgren, J. Am. Chem. Soc., 72, 2248(1950)
7. M. Pincon, J. Flauhaut, Compt. Rend., 243, 2074(1956)
8. J. Flauhaut, E. Attal, Compt. Rend., 238, 682(1954)
9. N. E. Topp. "Chemistry of the Rare-Earth Element", by Elsevier Publishing Company(1965)
10. J. F. Nakahara, T. Takeshita, M. J. Beaudry, K. A. Gschneidner Jr., Iowa State Univ., IA, USA. USDOE Rep 17(1987)
11. K. Ikeda, K. A. Gschneidner Jr., B. J. Beaudry, and U. Atzmony, Phys. Rev. B, 25, 4604 (1982)